

ДВУХКАНАЛЬНАЯ ТЕПЛОВИЗИОННАЯ КАМЕРА С ПРОТИВОФАЗНОЙ МОДУЛЯЦИЕЙ ТЕПЛОВОГО ПОТОКА

И.Б.Боженко¹, С.А.Воронов²,
П.А.Кондратов¹, В.Ф.Ткаченко¹

¹Национальный университет
“Львовская политехника”
г.Львов, ул. Ст.Бандери, 12

E-mail: ndki@polynet.lviv.ua

²Национальный технический университет
Украины
“Киевский политехнический институт”
г.Киев, просп. Перемоги, 37
E-mail: voronov@ptu-kpi.kiev.ua

Для систем дистанционного мониторинга предлагается двухканальная тепловизионная камера на базе пироэлектрика, в которой не только существенно уменьшено влияние шумов мишени на полезный сигнал, но и компенсируются в реальном времени синхронные и асинхронные помехи. Имеется также возможность получения теплового стереоизображения.

Введение. Применение в дистанционном мониторинге тепловизионных камер (ТПК) на пироэлектриках (ПВ) упрощает и удешевляет его процедуру [1]. Вместе с тем на видеосигнал, формируемый ПВ (пироиздигнал), негативно влияют:

- геометрическая неравномерность мишени ПВ;
- временная неравномерность т.н. “пьедестала” мишени, на уровне которого формируется информативная компонента ПВ;
- значительные асинхронные и синхронные помехи от внешних энергетических и сигнальных цепей, что является непременной принадлежностью среды, в которой проводится мониторинг;
- акустические помехи (пироэлектрики имеют также и определенные сегнетоэлектрические свойства).

Кроме того, качество теплового изображения существенно ухудшают:

- ряд известных тепловых явлений, в частности, термодиффузия и тепловая маскировка, ведущие к потере контуров элементов воспроизводимого изображения;
- такая общая для всех телевизионных систем проблема, как потеря глубины изображения.

Всё это затрудняет как координатную

привязку участков изображения, так и его идентификацию в целом, что, соответственно, снижает быстродействие и точность работы оператора.

Целью настоящей статьи является рассмотрение возможных путей преодоления указанных проблем на примере предлагаемой двухканальной ТПК.

Известные методы подавления помех в ТПК связаны со спецификой формирования пироиздигнала.

Наиболее эффективно ТПК на ПВ работает при обтюрации [2]; её период как правило составляет:

$$T_m = 2T_f = 2(t_{tr} + t_{re}), \quad (1)$$

где T_f – период поля развертки;

t_{tr} , t_{re} – продолжительность, соответственно, прямого и обратного хода развертки.

Для двух смежных полей “положительный” (U_{S+}) и “отрицательный” (U_S) пироиздигналы ($U_{S+} = P_+$, $U_S = P_{-1}$), генерируемые в одной строке развертки (рис.1), можно определить как:

$$U_{S+} = P_+ + S_+ \pm U_n, \quad (2)$$

$$U_S = P_- - S_- \pm U_n, \quad (3)$$

где P_+ , P_- – уровни пьедестала при, соответственно, открытом и закрытом обтюраторе, $P_+ \approx P_-$;

S_+ , S_- – полезный сигнал, $S_+ \approx S_-$;

U_n – сигнал помехи.

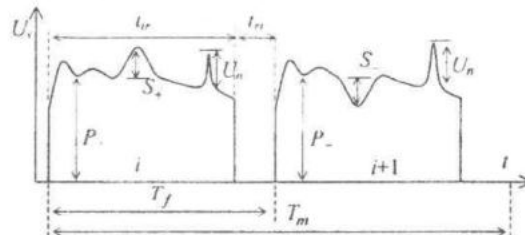


Рис. 1 - Временная диаграмма формирования пироиздигнала

Для получения полезного унипольярного сигнала обычно используют цифровой видеопроцессор разностной обработки (рис.2):

$$U_\Sigma = |U_i - U_{i+1}| = U_{S+} - U_S \approx 2S_+ \pm U_n \quad (4)$$

Для устранения же в данном случае влияния помех высокочастотная фильтрация недостаточно эффективна; поэтому (при случайном характере помехи), применяется и накопление сигналов смежных полей:

$$U_{\Sigma} = \frac{1}{k} \cdot \left| \sum_{i=1}^k [(P_i \pm S_i) - (P_{i+1} \mp S_{i+1})] \pm U_m \right| \approx S + \frac{\sqrt{k} \cdot U_k}{k}, \quad (5)$$

где i – номер текущего кадра;
 k – количество накопленных кадров.

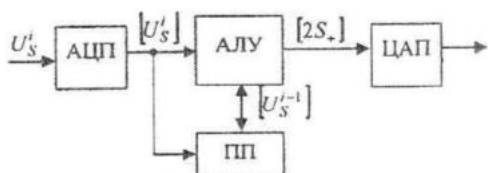


Рис. 2 - Структура цифрового видеопроцессора:
 АЛУ - арифметико-логическое устройство;
 ПП - память поля

Однако уровень пьедестала, а также его временная и геометрическая неравномерность, как правило, значительно превышают амплитуду полезного сигнала:

$$P \geq (3 \div 10)S \pm 15 \div 30\%. \quad (6)$$

Поэтому разностную обработку целесообразнее сделать двухступенчатой, аналого-цифровой. При ней сигнал U_S через АЦП поступает в память поля (обработка первого уровня), а затем при поступлении U_{S+} передается через ЦАП на операционный усилитель для разностной обработки по (4). Тем самым динамический диапазон цифровой обработки второго уровня (накопление и коррекция нерав-

номерности пьедестала [3]) используется более эффективно: цифруется лишь полезная компонента.

Но такие методы не в достаточной мере уменьшают влияние асинхронных помех, совсем не компенсируют синхронные (т.к. здесь они воспринимаются как полезная компонента), а многокадровое накопление ведет к малокадровому воспроизведению, что делает такую процедуру эффективной лишь для малодинамичных объектов.

Для повышения информативности формируемого в таких условиях изображения может быть использована двухдиапазонная ТПК, где второй канал используется для формирования параллельно с тепловым еще и видимого изображения [4]. В то же время двухканальное построение ТПК с двумя ПВ может быть использовано и для компенсации помех.

Предлагаемая двухканальная структура основана на взаимной разностной обработке пиросигналов обоих каналов ТПК.

В такой ТПК (рис.3) инфракрасное (ИК) излучение объекта через оптико-делительный узел падает на мишени обоих ПВ.

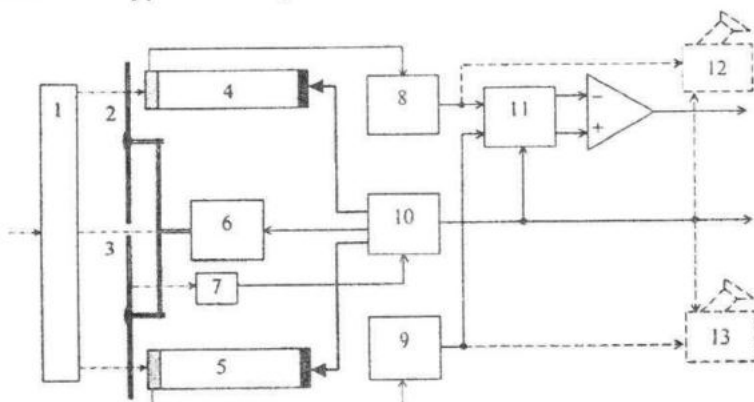


Рис. 3 – Структура двухканальной тепловизионной камеры: 1 - оптико-делительный узел, 2, 3 – обтюраторы, 4, 5 - пирорадары, 6 - двигатель с системой привода обтюраторов, 7 - датчик положения обтюраторов, 8, 9 - видеоусилители, 10 - блок управления разверткой, 11 - коммутатор, 12, 13 - видеоискатели

Общую синхронизацию ТПК обеспечивает блок управления разверткой.

В результате синхронно-противофазной обтюрации в обоих каналах ТПК одновременно формируются пиросигналы, в которых информативные компоненты имеют противоположную полярность, а компоненты пьедестала и помехи сохраняют её

независимо от фазы обтюрации.

Эти сигналы через видеоусилители и коммутатор (который переключается с периодом T_m), поступают на соответствующий (прямой или инверсный) вход операционного усилителя; тем самым выполняется процедура (4), но с той разницей, что здесь в качестве S используется сигнал,

формирующийся во втором канале ТПК одновременно с S_+ .

При этом, поскольку помехи действуют

$$U_{\Sigma} = |U_{S1} - U_{S2}| = (P_{-1} + S_{+1} + U_{n1}) - (P_{-2} + S_{-2} + U_{n2}) \approx 2S_+, \quad (7)$$

где "1", "2" – индексы компонент сигналов, формирующихся в, соответственно, первом и втором каналах ТПК.

Естественно, данный метод может быть эффективен лишь при условии обеспечения симметричности мишени обоих ПВ, т.е. при $P_1 = P_2, S_1 = S_2, U_{n1} = U_{n2}$.

Компенсация влияния несимметричности необходима, т.к. на практике весьма проблематично обеспечить совпадение параметров обоих ПВ. При этом основной фактор – разность $P_1 \neq P_2$, т.к. согласно (6), разность между уровнями полезных сигналов и помех значительно меньше. Конечно, симметричности можно в определенной мере достичь подбором ПВ и режимной коррекцией [5], но, учитывая геометрическую и временную неравномерность чувствительности мишени, это может оказаться недостаточным.

Пусть в какой-то момент времени разница между уровнями пьедесталов двух ПВ (рис.4 а, б) составляет:

$$P_{2+} = P_{1-} - \Delta P. \quad (8)$$

$$U_{\Sigma I} = (P_{-1} + S_+) - (P_{-1} - \Delta P - S_+) \approx 2S_+ + \Delta P, \quad (9)$$

$$U_{\Sigma II} = (P_{-1} - \Delta P + S_+) - (P_{-1} - S_+) \approx 2S_- - \Delta P \quad (10)$$

А наличие разнополярной составляющей $\pm \Delta P$ в выходном сигнале (рис.4в) ведет к покадровому изменению фона, т.е. к мерцанию на экране монитора, что существенно усложняет работу оператора.

Для устранения этого эффекта авторы

$$U_{\Sigma} = U_{\Sigma I} + U_{\Sigma II} \approx (2S_+ + \Delta P) + (2S_- - \Delta P) \approx 4S_-. \quad (11)$$

Это позволяет изъять из пироизлучения разнополярную составляющую $\pm \Delta P$, обусловленную разницей $P_1 \neq P_2$, и в определенной мере усреднить неравенства $S_1 \neq S_2, U_{n1} \neq U_{n2}$.

Реализация обтюрации выполнена применением двух вращающихся спиралевидных односекторных дисков (как наиболее эффективных и простых в действии). С помощью датчика положения оптико-электронная обратная связь обеспечивает их синхронизацию со строчной разверткой ПВ по фазе и частоте.

на оба канала одновременно и одинаково, результаты их влияния взаимокомпенсируются:

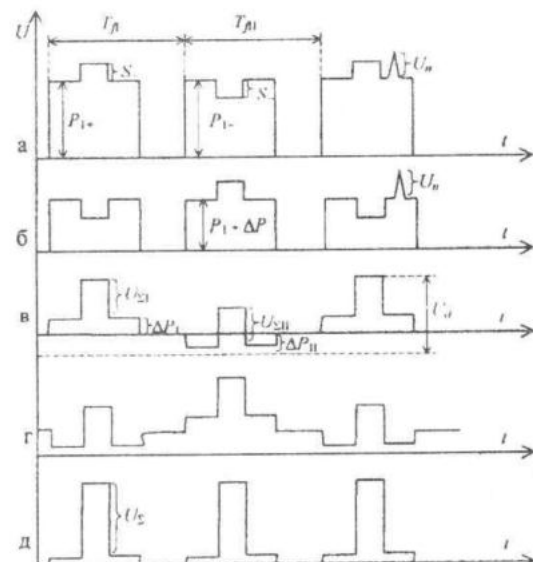


Рис. 4 – Временная диаграмма процесса компенсации несимметричности пьедесталов

Тогда в первой и второй фазах обтюрации (в течение T_1 первый обтюратор открыт, второй закрыт, при T_{1I} – наоборот) результирующий сигнал составит, соответственно:

$$U_{\Sigma I} = (P_{-1} + S_+) - (P_{-1} - \Delta P - S_+) \approx 2S_+ + \Delta P, \quad (9)$$

$$U_{\Sigma II} = (P_{-1} - \Delta P + S_+) - (P_{-1} - S_+) \approx 2S_- - \Delta P \quad (10)$$

предлагают подключить к выходу ТПК цифровой видеопроцессор (с АЦП, настроенным на восприятие сигнала в всем его диапазоне, т.е. в зоне эффективной оцифровки U_d) для суммирования сигналов двух смежных полей (рис.4 г, д):

$$(11)$$

Два диска необходимы во избежание облучения неидентичных участков мишени во время обтюрации. Применение же лишь одного хотя и позволяет, в принципе, осуществлять одновременную противофазную обтюрацию, но, к сожалению, требует обращения изображения, формируемого вторым каналом. Кроме того, увеличение радиуса диска усугубляет проблемы его балансировки.

Реализация оптико-делительного узла может быть осуществлена на базе одного (рис.5а) или двух (рис.5б) ИК объективов.

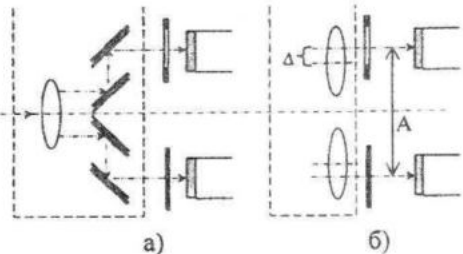


Рис. 5 – Варианты реализации оптического узла

Первый вариант требует большего фокусного расстояния объективов из-за наличия двух пар плоских зеркал с внешними слоями отражения. Эти пары симметричны относительно оптической оси объектива (главная оптическая ось ТПК). В каждой из них первые зеркала расположены на соответствующей оптической оси ПВ под углом 45° к ней.

В втором варианте два объектива смешены относительно оптической оси ПВ на:

$$\Delta = A/2Q, \quad (12)$$

где A – расстояние между оптическими осями ПВ;

Q – коэффициент усиления обоих объективов.

Преимущество первого варианта состоит в возможности иметь два тепловых изображения с только одним объективом. Преимущество второго – в лучшей функции передачи модуляции.

Задача создания теплового стереоизображения в случае применения варианта рис.5б может быть решена относительно просто. Для этого необходимо:

- обеспечить действие обоих обтюраторов в одной фазе;
- для приема бинокулярного изображения оборудовать ТПК двумя видеодискателями, подсоединенными к видеоусилителям ТПК (на рис.3 показаны штриховыми линиями).

При этом для получения униполярного полезного сигнала видеодискатели можно оборудовать цифровыми либо аналого-цифровыми видеопроцессорами, выполняющими процедуры (4) или (5).

Еще одна возможность создания стереоэффекта появляется при использовании двух объективов с разными фокусными расстояниями. При этом объектив первого

канала может быть сфокусирован на переднем плане объекта, а объектив второго – на заднем. Совмещение переднего и заднего планов (из-за инерционности зрения человека) в единое изображение позволит оператору более точно ориентироваться в состоянии исследуемого объекта.

Выводы. Предлагаемая пироэлектронная двухканальная тепловизионная камера позволяет сравнительно просто выполнять разностно-суммарную обработку в течение одного-двух полей развертки. Это делает возможным эффективный контроль не только статических, но и динамических тепловых объектов. Вместе с тем обеспечивается компенсация влияния синхронных и асинхронных помех. Кроме того, данная структура делает возможным создание теплового стереоизображения, что значительно повышает возможности оператора при контроле состояния исследуемого объекта.

ЛИТЕРАТУРА

1. Госсорт Ж. Инфракрасная термография. - М.: Мир, 1988. – 216 с.
2. Боженко И.Б., Гой В.М., Кондратов П.А. Расширение функциональных возможностей тепловизионной камеры для инфракрасной термографии морских объектов// Системы контроля окружающей среды. Сборник научных трудов НАНУ. Севастополь: МГИ, 1999. - С.130-132.
3. Боженко И.Б., Воронов С.А., Кондратов П.А., Шаблатович А.Н. Видеопроцессор суммарно-разностной обработки для системы тепловизионного мониторинга энергетических объектов// Реєстрація, зберігання та обробка даних. – 2003. - №2. - С.79-84.
4. Боженко И.Б., Гой В.М., Клушин Ю.С., Кондратов П.А. Процессорный тепловизионный комплекс с дополнительным каналом изображения в видимом диапазоне спектра// Системы контроля окружающей среды. Сборник научных трудов НАНУ. - Севастополь: МГИ, 2002. – С.272-273.
5. Боженко И.Б., Кондратов П.А., Ткаченко В.Ф. Усовершенствование режима работы высокочувствительного пироэлектрика в системе тепловизионного мониторинга// Системы контроля окружающей среды. Средства и мониторинг. Сборник научных трудов НАНУ. - Севастополь: МГИ, 2004. – С.146-148.